

УДК 621.373.826.038.823

ЧИСЛЕННЫЙ ДВУМЕРНЫЙ АНАЛИЗ  
КОЛЬЦЕВОЙ МОДЕЛИ DF — CO<sub>2</sub>-НХЛ  
С УЧЕТОМ ЭФФЕКТОВ СМЕШЕНИЯ РЕАГЕНТОВ

*H. A. Коноплев, A. A. Степанов, B. A. Щеглов*  
(Москва)

В [1, 2] отмечалось, что использование расширяющихся сверхзвуковых потоков при надлежащем выборе уровня инициирования и степени газодинамического расширения позволяет создать условия, при которых удельные энергетические показатели непрерывного химического DF — CO<sub>2</sub>-лазера почти вдвое превышают аналогичные показатели лазера с плоской геометрией соплового блока. Таким образом, расчеты показывают, что в принципе имеется возможность управлять энергетическими характеристиками DF — CO<sub>2</sub>-лазера газодинамическими методами. Заметим, что для экспериментальной реализации условий, указанных в [1, 2], не обязательно использовать цилиндрический сопловой блок с аксиальной симметрией потока (фиг. 1). На практике можно, например, ограничиться секторной моделью подобной конструкции. Важно лишь, чтобы угол раскрыва сектора был достаточно велик. В этом случае краевые эффекты мало искажают радиальный характер течения и результаты, полученные для кольцевой модели лазера, остаются в силе.

Расчеты в [1, 2] проводились на основе одномерной модели, при этом эффекты смешения реагентов во внимание не принимались. В общем случае для учета этих эффектов целесообразнее использовать самосогласованные двумерные модели, позволяющие более корректно описать процесс перемешивания потоков окислителя и горючего.

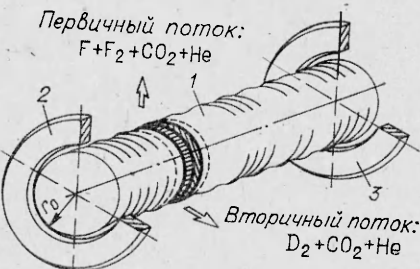
В данной работе с использованием двумерного подхода и с учетом эффектов вязкости, диффузии и теплопроводности исследуется влияние конечной скорости перемешивания на удельные энергетические показатели DF — CO<sub>2</sub>-лазера при плоской и цилиндрической геометрии соплового блока.

**1. Основные уравнения.** Ограничивааясь рассмотрением автономного варианта химического DF — CO<sub>2</sub>-лазера, напомним (см. также [1, 2]), что в таком лазере для создания активных центров (атомов фтора) в качестве вспомогательной используется реакция



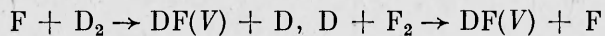
обеспечивающая наработку лазерных молекул CO<sub>2</sub> без образования побочных продуктов. Термо, выделяющееся в ходе реакции, используется для создания активных центров, которые образуются при тепловой диссоциации молекулярного фтора, подмешиваемого к продуктам реакции (1.1): F<sub>2</sub> + Q → 2F. Необходимая степень инициирования (начальное количество атомов фтора) обеспечивается разбавлением смеси CO/O<sub>2</sub> инертным газом (гелием), который контролирует температуру продуктов горения.

Цилиндрический сопловой блок в кольцевой модели выполняется в виде набора соосных малогабаритных кольцевых сопел, чередующихся для потоков окислителя (F, F<sub>2</sub>, CO<sub>2</sub>, He) и горючего (D<sub>2</sub>, CO<sub>2</sub>, He) в определенном порядке (см. фиг. 1). На выходе соплового блока потоки окисли-



Фиг. 1

теля и горючего смешиваются между собой и вследствие протекания цепной реакции



в активной среде лазера образуются колебательно-возбужденные молекулы фтористого дейтерия. В дальнейшем в результате колебательного  $VV$ -обмена энергия от возбужденных молекул передается в антисимметричную моду  $CO_2$  и на переходе полосы  $00^01 \rightarrow 10^00$  создается инверсная заселенность молекул  $CO_2$ , приводящая к генерации на длине волны  $\lambda = 10,6$  мкм. Отметим, что, помимо указанных процессов, в активной среде происходит еще целая цепь различных химико-кинетических превращений (см., например, [1—4]).

Пусть  $h_1$  и  $h_2$  — ширины струй окислителя и горючего в направлении оси  $z$ , а  $h_* = (1/2)(h_1 + h_2)$  — полуширина периода сопловой решетки. Обычно  $h_* \ll \Delta r_{\text{лаз}}$  ( $\Delta r_{\text{лаз}}$  — характерная протяженность лазерной зоны по потоку), и по этой причине движение газа в области резонатора во многом аналогично вязкому течению в узких каналах. Известно (см., например, [5—7]), что приближенные уравнения газодинамики, описывающие течение вязкого сжимаемого газа в каналах малой ширины, по форме совпадают с уравнениями пограничного слоя. Тем не менее при количественном описании движения газа в приближении узкого канала и в приближении пограничного слоя имеется принципиальная разница.

Действительно, в тонком пограничном слое распределение давления по потоку известно из решения задачи для внешнего невязкого потока [8, 9]. В случае же вязкого течения в узком канале распределение давления по потоку заранее неизвестно и должно определяться в результате самосогласованного решения всех уравнений газодинамики. Именно это обстоятельство и предопределяет различие в методах решения уравнений пограничного слоя и уравнений узкого канала. Интересно также отметить, что даже в особом случае «свободного» расширения (при плоской геометрии сопла и малой высоте струй), когда давление газа по потоку не меняется, режим течения принципиально отличается от течения в пограничном слое, поскольку неизвестной оказывается степень этого расширения по потоку. Как показано, например, в [10], степень расширения в таком режиме определяется на основе самосогласованного решения всех уравнений газодинамики.

Поскольку в данной работе исследуются лишь расчетные режимы истечения из сопла, поперечным градиентом давления в дальнейшем пренебрегается ( $\partial p / \partial z = 0$ ). В [11, 12] показано, что подобное приближение удовлетворительно описывает процесс перемешивания расчетных струйных течений химически реагирующего газа даже при интенсивном тепловыделении в потоке.

С учетом сказанного при цилиндрическом (радиальном) течении вязкого реагирующего газа исходные уравнения газодинамики в приближении узкого канала можно взять в виде

$$(1.2) \quad \begin{aligned} \frac{\partial}{\partial r} (\rho u r) + \frac{\partial}{\partial z} (\rho w r) &= 0, \\ \rho u \frac{\partial u}{\partial r} + \rho w \frac{\partial u}{\partial z} &= - \frac{dp}{dr} + \frac{\partial}{\partial z} \left( \mu \frac{\partial u}{\partial z} \right), \\ \rho u \frac{\partial h}{\partial r} + \rho w \frac{\partial h}{\partial z} &= u \frac{dp}{dr} + \mu \left( \frac{\partial u}{\partial z} \right)^2 + \frac{\partial}{\partial z} \left( \lambda \frac{\partial T}{\partial z} \right) + \\ &+ \frac{\partial}{\partial z} \left( \rho \sum_i h_i D_i \frac{\partial C_i}{\partial z} \right) - g I_z, \\ p &= \rho R T / W_z, \quad \rho u \frac{\partial C_i}{\partial r} + \rho w \frac{\partial C_i}{\partial z} = w_i + \frac{\partial}{\partial z} \left( \rho D_i \frac{\partial C_i}{\partial z} \right), \\ \rho u \frac{\partial E_k}{\partial r} + \rho w \frac{\partial E_k}{\partial z} &= w_{E_k} + \frac{\partial}{\partial z} \left( \rho D_k \frac{\partial E_k}{\partial z} \right). \end{aligned}$$

Здесь  $\rho$  — плотность смеси;  $u$  и  $w$  — радиальная и поперечная составляющие скорости потока;  $T$  — температура;  $p$  — давление;  $h = \sum_i h_i C_i$  — удельная энталпия смеси;  $h_i$  — энталпия  $i$ -го компонента;  $C_i = \rho_i / \rho$  — относительная массовая концентрация  $i$ -го компонента;  $W$  — молекулярный вес смеси;  $\mu$ ,  $\lambda$  и  $D_i$  — коэффициенты динамической вязкости, теплопроводности и диффузии;  $E_k = \sum_v v C_k (v)$  — безразмерная колебательная энергия  $k$ -го компонента;  $w_i$  и  $w_{E_k}$  — источниковые члены, описывающие процессы химической, колебательной и радиационной кинетики;  $g$  — локальный коэффициент усиления на стандартном переходе  $P(20)$  полосы  $00^1 \rightarrow 10^0$ ;  $I$  — интенсивность излучения;  $R$  — универсальная газовая постоянная.

В отличие от системы уравнений пограничного слоя (когда распределение давления  $p(r)$  по потоку считается известным) система (1.2) в приближении узкого канала оказывается незамкнутой, поскольку число переменных ( $\rho$ ,  $u$ ,  $w$ ,  $p$ ,  $T$ ) превышает число уравнений (уравнение  $\partial p / \partial z = 0$  определяет лишь, что  $p = p(r)$ , и не зависит от координаты  $z$ ). Для замыкания системы уравнений узкого канала необходимо воспользоваться условием постоянства расхода на ширине полупериода структуры сопла

$$(1.3) \quad \int_0^{h_*} \rho u r dz = G_0 = \text{const.}$$

Кроме того, система дополняется соответствующими граничными условиями на срезе соплового блока ( $r = r_0$ ) и на плоскостях симметрии ( $z = 0$ ,  $h_*$ ):

при  $r = r_0$

$$p = p_0, \quad u = u_0(z), \quad T = T_0(z), \quad C_i = C_i^0(z), \quad E_k = E_k^0(z);$$

при  $z = 0$ ,  $h_*$

$$w = 0, \quad \frac{\partial u}{\partial z} = \frac{\partial T}{\partial z} = \frac{\partial C_i}{\partial z} = \frac{\partial E_k}{\partial z} = 0.$$

Используя периодические граничные условия и интегрируя уравнение неразрывности по поперечному сечению, для поперечной составляющей скорости  $w$  получим

$$(1.4) \quad \rho w = - \frac{1}{r} \int_0^z \frac{\partial}{\partial r} (\rho u r) dz.$$

Наконец, воспользовавшись уравнением состояния и условием постоянства расхода (1.4), находим еще одно соотношение для давления

$$(1.5) \quad p = G_0 R \left[ r \int_0^{h_*} \frac{u W}{T} dz \right].$$

Соотношения (1.4), (1.5) в совокупности с уравнением состояния, уравнениями сохранения энергии и движения представляют собой замкнутую систему для интегрирования уравнений газовой динамики в приближении узкого канала. Отметим при этом, что давление удобно определять из соотношения (1.5), а плотность смеси — из уравнения состояния.

Для определения интенсивности излучения  $I$  в режиме генерации используется пороговое условие

$$G = \frac{1}{h_*} \int_0^{h_*} g(r, z) dz = g_{\text{пор}},$$

где  $G$  — усредненный по периоду структуры коэффициент усиления активной среды;  $g_{\text{пор}} = L_a^{-1} \ln (r_1 r_2)^{-1/2}$  — пороговый коэффициент усиления

( $L_a$  — длина активной среды,  $r_1$  и  $r_2$  — коэффициенты отражения зеркал резонатора).

Коэффициенты переноса в многокомпонентной смеси представлялись в виде суммы ламинарной и турбулентной составляющих (помечены индексами  $l$  и  $t$  соответственно):  $\mu = \mu_l + \mu_t$ ,  $\lambda = \lambda_l + \lambda_t$  и  $D_i = D_i^l + D_i^t$ . Вообще говоря, эксперименты показывают, что при больших давлениях на срезе сопла смешение струй носит в основном турбулентный характер, при этом  $\mu_t \gg \mu_l$ ,  $\lambda_t \gg \lambda_l$  и  $D^t \gg D^l$ .

Для описания турбулентной диффузии использовалась полуэмпирическая теория турбулентности [8, 9, 13, 14]. Согласно гипотезе Прандтля, коэффициент турбулентной вязкости  $\mu_t$  в однопараметрической модели турбулентности определяется соотношением

$$\mu_t = \rho l^2(r) |\partial u / \partial z|,$$

при этом длина пути перемешивания  $l(r)$  для свободных струйных течений может быть представлена в виде [14]

$$l(r) = b_l(r - r_0),$$

где  $b_l = h/k$  ( $h$  — характерный период структуры,  $k$  — константа, причем обычно принимается  $k \simeq 10$ ).

В действительности же следует учесть, что хотя турбулентное перемешивание и осуществляется, как правило, весьма быстро (на расстояниях  $\simeq 10$  периодов структуры от среза сопла наблюдается практически полное перемешивание потоков), тем не менее смешение на молекулярном уровне, связанное с распадом турбулентных вихрей, протекает значительно медленнее. Понятно, что при описании химических и релаксационных процессов в активной среде это обстоятельство необходимо иметь в виду. В рамках упрощенной полуэмпирической модели, принятой в данной работе, указанный эффект учитывался путем увеличения константы  $k$ , входящей в определение  $b_l$ , на порядок (принималось  $k = 100$ ).

В [13] отмечается, что при турбулентном смешении струй с хорошим приближением турбулентные аналоги чисел Шмидта  $Sc_t$  и Прандтля  $Pr_t$  можно полагать равными  $Sc_t = \mu_t / \rho D_t \simeq 0,7$  и  $Pr_t = \mu_t c_p / \lambda_t \simeq 0,7$ . С использованием этих двух соотношений сразу же определяются  $\lambda_t$  и  $D_t$ .

**2. Краткое описание алгоритма и результаты расчетов.** Вообще говоря, уравнения узкого канала (и соответственно пограничного слоя) приобретают наиболее простой вид после перехода к переменным Мизеса [10, 15, 16]. Тем не менее, как это отмечено, например, в [17], в рассматриваемых условиях переменные Мизеса оказываются недостаточно эффективными. Дело в том, что при описании перемешивания струй с существенно различными плотностями в рамках переменных Мизеса для обеспечения удовлетворительной точности счета необходимо вводить разностную сетку с переменным шагом в поперечном направлении. А это, как известно, приводит к снижению порядка аппроксимации исходных уравнений газодинамики.

В связи с этим в данной работе задача решается в координатах  $(r, z)$ . Для численного интегрирования применена (с некоторыми изменениями) разностная схема, рассмотренная в [17]. Кроме того, для определения интенсивности излучения в режиме стационарной генерации также использован подход, впервые предложенный в [17]. Отметим, что в отличие от известных традиционных методов [3, 4] данный подход обеспечивает существенно более высокую точность определения интенсивности излучения при большем шаге интегрирования.

Уравнения кинетики, уравнение движения и уравнение для температуры смеси имеют параболический тип и потому могут быть проинтегрированы маршевым методом. Для разностной их аппроксимации использована двухслойная неявная итерационная схема второго порядка точности (типа схемы Кранка — Никольсона). В отличие от [17] для повышения устойчивости схемы конвективные члены этих уравнений аппроксимированы

лись с помощью разностной схемы численного дифференцирования «против потока» [18].

При конкретной реализации итерационного процесса всем переменным на  $(n+1)$ -м слое по  $r$  на первой итерации присваивались значения соответствующих величин с  $n$ -го слоя. Итерации продолжались до сходимости интегрируемых величин с заданной относительной точностью ( $\sim 10^{-3}$ ). Шаг интегрирования по продольной координате (в поперечном направлении использовалось 20 шагов разностной сетки) выбирался в основном в соответствии с требованием обеспечения необходимой точности интегрирования кинетических уравнений.

Результаты двумерных расчетов для контроля сравнивались при идентичных исходных данных с результатами, полученными ранее на основе одномерной модели. Сопоставление показало удовлетворительное (в пределах  $\approx 5\%$ ) совпадение результатов.

При проведении конкретных расчетов в качестве исходных данных задавались параметры потоков окислителя и горючего, полупериод структуры соплового блока ( $h_*=0,3$  см) и соотношение ширин струй ( $h_1/h_2 = 1$ ). Давление в струях считалось одинаковым, значение порогового коэффициента усиления принималось равным  $g_{\text{пор}} = 1,25 \cdot 10^{-3}$  см $^{-1}$  (это отвечает значению, использованному в одномерных расчетах [1, 2]).

С использованием результатов по оптимизации состава смеси [2] параметры потоков на срезе принимались следующими:

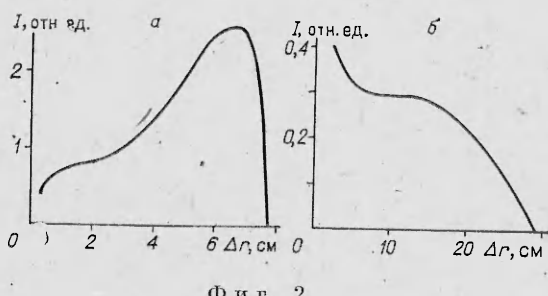
- для потока окислителя температура потока  $T_1 = 300$  К, скорость потока  $u_1 = 2$  км/с, состав смеси  $F + F_2 : CO_2 : He = 1 : 4 : 10$ , степень диссоциации молекулярного фтора  $\alpha_F$  в расчетахарьировалась;
- для потока горючего температура  $T_2 = 200$  К, скорость потока  $u_2 = 1,5$  км/с, состав смеси  $D_2 : CO_2 : He = 1 : 4 : 10$ .

Проведенные расчеты в принципе подтвердили справедливость основных выводов [1, 2]. Вместе с тем двумерный анализ выявил у исследуемой системы и некоторые дополнительные особенности.

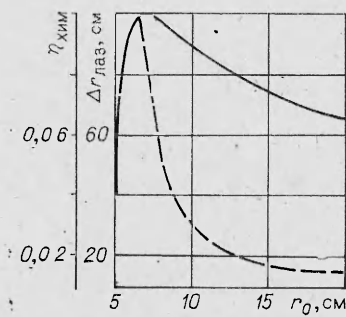
На фиг. 2, а, б соответственно представлены типичные распределения интенсивности излучения при плоской и цилиндрической (радиус сопла  $r_0 = 10$  см) геометрии при  $\alpha_F = 1\%$  и  $p_0 = 13,3$  кПа. Случай плоского соплового блока в расчетах моделировался цилиндрическим соплом с радиусом  $r_0 = 10$  м.

Анализ показывает, что с учетом эффектов смешения ширина лазерной зоны в плоском случае возрастает, а в цилиндрическом, наоборот, сокращается примерно на 20—30 %. Сокращение лазерной зоны в цилиндрическом случае (обусловленное влиянием неоднородностей на усилительные свойства среды) сопровождается и некоторым снижением энергетических показателей лазера в сравнении с [1—2], в плоском случае увеличение ширины зоны генерации к увеличению энергетики лазера практически (с точностью до 1—2 %) не приводит.

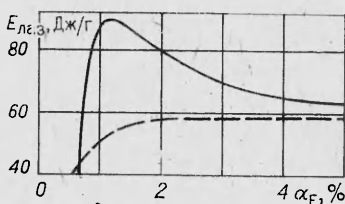
На фиг. 3 показана зависимость химического КПД (сплошная линия) и ширины лазерной зоны (штриховая линия)  $DF - CO_2$ -лазера от радиуса сопла  $r_0$  (для  $\alpha_F = 1\%$  и  $p_0 = 13,3$  кПа). Видно, что при  $r_0 = 10$  см КПД лазе-



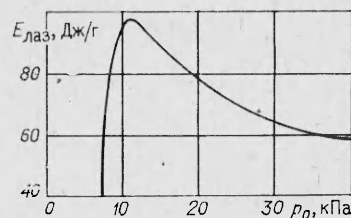
Фиг. 2



Фиг. 3



Фиг. 4



Фиг. 5

ра в сравнении с плоским случаем возрастает не в 2 (как это предсказывалось в [1, 2]), а примерно в 1,5 раза. И хотя при меньших значениях  $r_0$  может быть достигнут и больший выигрыш, однако из фиг. 3 видно, что ширина лазерной зоны становится при этом неразумно большой.

На фиг. 4 приведена зависимость удельной лазерной энергии от начального уровня инициирования  $\alpha_F$  для случаев плоской (штриховая линия) и цилиндрической (сплошная,  $r_0 = 10$  см) геометрии при  $p_0 = 13,3$  кПа. Интересно отметить, что в отличие от [1, 2] двумерный подход предсказывает несколько меньшую чувствительность энергетических показателей лазера к уровню инициирования  $\alpha_F$ . Последнее обстоятельство в принципе может быть существенным при проведении оптимизации кольцевой модели.

Наконец, как и в случае одномерного анализа, двумерные расчеты также показывают наличие оптимума по начальному давлению на срезе сопла в условиях цилиндрической геометрии конструкции (в области малых значений  $\alpha_F$ ). На фиг. 5 представлена зависимость удельной лазерной энергии от величины давления на срезе (при  $\alpha_F = 1\%$ ,  $r_0 = 10$  см). В сравнении с одномерным подходом некоторое отличие здесь состоит лишь в том, что в двумерном случае величина оптимального давления несколько снижается (от 13,3 до 10,7 кПа), что объясняется в основном теми же причинами, о которых уже говорилось выше. При больших давлениях ( $p_0 \approx 40-50$  кПа) энергетические показатели кольцевого варианта DF — CO<sub>2</sub>-лазера заметно снижаются и приближаются к типичным характеристикам лазера с плоской геометрией сопла. Это связано с сокращением лазерной зоны при увеличении давления, вследствие чего характер геометрии становится уже малосущественным.

В заключение отметим, что основная цель данной работы сводилась к определению энергетических показателей кольцевой модели сверхзвукового химического DF — CO<sub>2</sub>-лазера. Практика многочисленных расчетов показала, что в этом случае использование модели узкого канала вполне оправдано. Для выявления более тонкой информации, связанной с распределением газодинамических параметров в зоне генерации (слабые ударные скачки и волны разрежения, возвратные течения в донной области и т. д.), используют более сложные модели, ориентирующиеся на полную систему уравнений Навье — Стокса (см., например, [19, 20]). Однако здесь следует иметь в виду, что реальная картина течения, очевидно, существенным образом зависит от начальных параметров смешиваемых химически активных струй (в частности, от степени турбулизации), корректное задание которых представляет самостоятельную, далеко не тривиальную задачу.

#### ЛИТЕРАТУРА

- Коноплев И. А., Степанов А. А., Щеглов В. А. Теоретическое исследование кольцевой модели сверхзвукового химического DF — CO<sub>2</sub>-лазера. — Квант. электроника, 1981, т. 8, № 2.
- Коноплев И. А., Степанов А. А., Щеглов В. А. Кольцевая модель сверхзвукового химического DF — CO<sub>2</sub>-лазера: теоретическое исследование режимов генерации и усиления. Препринт ФИАН, 1981, № 256.
- Химические лазеры/Под ред. Р. Гросса и Дж. Ботта. М.: Мир, 1980.
- Башкин А. С., Игошин В. И., Ораевский А. Н., Щеглов В. А. Химические лазеры. М.: Наука, 1982.

5. Вильямс. Течения вязкого сжимаемого и несжимаемого газа в узких каналах.— Ракетн. техника и космонавтика, 1963, т. 1, № 1.
6. Рей. Некоторые результаты численных расчетов вязких течений разреженного газа в соплах в приближении узкого канала.— Ракетн. техника и космонавтика, 1971, т. 9, № 5.
7. Ветлужский В. Н., Мучная М. И. Расчет вязкого течения в гиперзвуковом сопле.— Изв. АН СССР. МЖГ, 1977, № 4.
8. Шлихтинг Г. Теория пограничного слоя. М.: Наука, 1974.
9. Лойцянский Л. Г. Ламинарный пограничный слой. М.: Физматгиз, 1962.
10. Степанов А. А., Щеглов В. А. Влияние эффектов смешения на энергетические показатели автономного химического НФ-лазера непрерывного действия.— Квант. электроника, 1979, т. 6, № 4.
11. Бунгова Т. А., Лавров А. В., Харченко С. С. Ламинарное смешение плоских нерасчетных сверхзвуковых химически реагирующих струй.— Изв. АН СССР. МЖГ, 1982, № 3.
12. Лапин Ю. В., Стрелец М. Х., Щур М. Л. Численное моделирование процессов в резонаторе непрерывного химического НФ-лазера на основе уравнений Навье — Стокса.— ФГВ, 1982, № 5.
13. Лапин Ю. В. Турбулентный пограничный слой в сверхзвуковых потоках газа. М.: Наука, 1970.
14. Абрамович Г. Н., Крашенинников С. Ю., Секундов А. Н., Смирнова И. П. Турбулентное смешение газовых струй. М.: Наука, 1974.
15. Лавров А. В., Поспелов В. А. Численный анализ режима генерации НФ-лазера непрерывного действия.— ФГВ, 1979, т. 15, № 1.
16. Степанов А. А., Щеглов В. А. О цепном механизме возбуждения непрерывного химического НФ-лазера с цилиндрическим сопловым блоком.— Квант. электроника, 1979, т. 6, № 7.
17. Поспелов В. А. Эффективная разностная схема расчета характеристик НФ-химического лазера непрерывного действия.— ЧММСС, 1982, т. 13, № 3.
18. Роуч П. Вычислительная гидромеханика. М.: Мир, 1980.
19. Баев В. К., Головичев В. И., Ясаков В. А. Двумерные турбулентные течения реагирующих газов/Под ред. Р. И. Солоухина. Новосибирск: Наука, 1976.
20. Баев В. К., Головичев В. И., Ясаков В. А. Горение в сверхзвуковом потоке. Новосибирск: Наука, 1984.

Поступила 30/V 1984 г.

УДК 539.196.5;621.375.826

## КИНЕТИЧЕСКИЕ ПРОЦЕССЫ В СИСТЕМЕ НИЖНИХ УРОВНЕЙ МОЛЕКУЛЫ CO<sub>2</sub>

R. Ш. Исламов, Ю. Б. Конев

(Москва)

1. Детальная информация о процессах релаксации населенностей уровней симметричной и деформационной мод молекул CO<sub>2</sub> важна для теоретического исследования усиления и генерации на длинноволновых переходах CO<sub>2</sub>, генерации коротких импульсов излучения на 10,6 и 9,6 мкм и ряда других проблем. Отдельные группы уровней этих мод возмущены вследствие резонанса Ферми, поэтому указанные моды часто называют связанными. Расчет констант скорости многочисленных процессов в системе связанных мод в настоящее время не может сам по себе претендовать на получение количественных результатов. Известен ряд работ по экспериментальному исследованию динамики установления равновесия в системе нижних уровней после кратковременного возмущения населенности одного из них [1—9]. В [1, 5, 6] после насыщения коротким импульсом переходов в полосе 9,4 или 10,4 мкм наблюдалось изменение коэффициента поглощения на переходах в другой из этих полос, а в [7] — флуоресценция в диапазоне длии волн 15,48—16,92 мкм. В [2—4] измерялась скорость срыва генерации на переходах полос 9,4 и 10,4 мкм после выключения накачки. В [8] с помощью перестраиваемого зондирующего лазера измерялось поглощение на переходах нескольких полос в области 4,3 мкм, что позволило измерить динамику населенностей сразу нескольких нижних уровней. В [9] измерена избыточная по отношению к равновесной населенность ряда нижних уровней в зависимости от давления при двухфотонном комбинированном возбуждении CO<sub>2</sub>.

Интерпретация результатов экспериментов сложна и во многих случаях неоднозначна. Так, эксперименты по срыву генерации осложняются пороговыми и нелинейными эффектами в процессе генерации, а в [4] — п влиянием вращательной релаксации. В [1, 5] нельзя исключить возможность двухфотонных процессов взаимодействия насыщающего и зондирующего лучей [10]. Важно подчеркнуть трудность непосредственной интерпретации результатов [1—7], следствием чего было отнесение без достаточных оснований измерявшихся постоянных времени к константам скорости отдель-